

УДК 537.312.62

**К ВОПРОСУ О МЕХАНИЗМЕ  
ВЫСОКОТЕМПЕРАТУРНОЙ СВЕРХПРОВОДИМОСТИ  
В  $\text{YBa}_2\text{Cu}_3\text{O}_{7-\delta}$**

*Э. А. Пашинский*

Показано, что одной из возможных причин высокотемпературной сверхпроводимости в соединениях со структурой типа  $\text{YBa}_2\text{Cu}_3\text{O}_7$  является квазиодномерность электронного спектра в линейных цепочках  $\text{Cu}-\text{O}$  и связанная с ней анизотропия спектра слабо затухающих колективных возбуждений плотности заряда — низкочастотных квазиодномерных плазмонов, взаимодействие с которыми приводит к дополнительному по сравнению с электрон-фононным взаимодействием эффективному межэлектронному притяжению в амплитуде рассеяния вперед с малыми передачами продольного импульса.

Открытие высокотемпературной сверхпроводимости (ВТСП) в металлооксидных керамиках  $\text{La}-(\text{Ba}, \text{Sr})-\text{Cu}-\text{O}$  [1, 2] и  $\text{Y}-\text{Ba}-\text{Cu}-\text{O}$  [3] с критическими температурами  $T_c \approx 30-100$  К поставило перед теорией вопрос о природе этого уникального явления и о возможности принципиально новых механизмов сверхпроводимости, как обсуждавшихся ранее, так и предложенных *post factum*.

К первым относятся «магнонный» механизм в ферро- и антиферромагнетиках [4, 5], способствующий при определенных условиях триплетному куперовскому спариванию электронов за счет обмена виртуальными спиновыми возбуждениями — магнонами; «экзитонный» механизм ВТСП в линейных полимерных (металл-органических) структурах [6] и слоистых системах типа «сэндвич» [7, 8], обусловленный кулоновским взаимодействием свободных носителей тока с колективными возбуждениями связанных электронов — экзитонами; «плазмонный» механизм в переходных (редкоземельных) металлах [9] и в вырожденных многодолинных полупроводниках и полуметаллах [10] или в слоистых полупроводниковых структурах [11], связанный с обменом виртуальными низкочастотными (НЧ) колебаниями плотности «тяжелых» фермионов — акустическими плазмонами; биполярный механизм сверхпроводимости в ионных кристаллах [12] и узкозонных металлах с почти локализованными электронами [13, 14], обусловленный сверхтекучестью заряженного бозе-газа сильно связанных (локальных) электронных пар — биполяронов, а также различные механизмы усиления электрон-фононного взаимодействия (ЭФВ), например, за счет гибридизации зон в переходных металлах [15] или при возрастании электронной плотности состояний (ПС) на уровне Ферми в легированном экзитонном (шайерловском) диэлектрике [16] либо в результате взаимодействия носителей с колективными колебаниями «экзитонного» (вигнеровского) кристалла [17] или волн зарядовой (спиновой) плотности [18].

Из предложенных в последнее время для объяснения ВТСП теоретических моделей следует отметить модель «резонирующих» валентных (обменных) связей [19], механизм гибридизации зонных электронов с локальными парами на ионах меди с переменной (флуктуирующей) валентностью [20], механизм «химического» спаривания электронов (дырок) с образованием нейтрального кислорода [21] и др.

В [22, 23] было высказано предположение, что высокие  $T_c$  в слоистых металлооксидах  $\text{La}_{2-x}(\text{Ba}, \text{Sr})_x\text{CuO}_{4-y}$  и  $\text{YBa}_2\text{Cu}_3\text{O}_{7-\delta}$  обусловлены интенсивным электрон-плазмонным взаимодействием (ЭПВ) с двумерными (2D)-плазмами, спектр которых является квазиакустическим — корневым ( $\omega_q \sim \sqrt{q}$ ) [24] в однокомпонентной 2D-системе электронов (дырок) или линейным ( $\omega_q \sim q$ ) в случае двух перекрывающихся зон с сильно различающимися плотностями состояний [23]. При этом в отличие от трехмерных (3D) двухкомпонентных электрон-дырочных систем с существенно разными эффективными массами «тяжелых» и «легких» фермионов [9, 10], для которых характерно сильное затухание акустических плазмонов за счет распада на электрон-дырочные пары (квантовое затухание Ландау), в 2D-системах благодаря уменьшению фазового объема в импульсном пространстве для процессов распада плазмонов в области затухания возникают широкие «окна прозрачности» [24].

Однако при рассмотрении ЭПВ в [22, 23] не учитывались сильная анизотропия ПФ в плоскости слоев, вытекающая из численных расчетов [25, 26] и из экспериментальных данных по эффекту Холла [27], а также кулоновское взаимодействие между электронами в разных слоях, благодаря которому спектр плазмонов в слоистом кристалле является трехмерным, но анизотропным, так что  $\omega_q \rightarrow 0$  при  $q_{\parallel} \rightarrow 0$ , но  $q_{\perp} \neq 0$  (где  $q_{\parallel}$ ,  $q_{\perp}$  — продольная и поперечная относительно плоскости слоя составляющие волнового вектора  $\mathbf{q}$ ). При учете конечной вероятности туннелирования электронов между слоями в спектре плазмонов при  $q_{\parallel}=0$  появляется щель, пропорциональная энергии поперечного движения электронов  $\eta_{\perp}$ , которая при слабой гофрировке ПФ мала по сравнению с энергией Ферми  $E_F$ .

В [28] предполагалось, что такие низкочастотные («тяжелые») плазмы с  $q_{\parallel} \rightarrow 0$  и  $\omega_q \ll E_F$  играют важную роль в сверхпроводимости слоистых соединений. Но фактически в усредненное по ПФ межэлектронное взаимодействие вносят равнозначный вклад все значения  $q_{\parallel}$  от 0 до  $2 p_F$  (где  $p_F$  — фермиевский импульс), так что средняя частота виртуальных плазмонов  $\bar{\omega}_q \sim E_F$  и их влияние на куперовское спаривание носителей на ПФ пренебрежимо мало.<sup>1</sup>

Качественно иная ситуация возникает в квазиодномерных (цепочечных) металлах с почти плоскими участками ПФ. В этом случае межэлектронное взаимодействие можно разбить на две части [29, 30]: амплитуду рассеяния вперед с малыми передачами продольного (параллельного цепочкам) импульса  $q_x \sim \eta_{\perp}/v_F \ll p_F$  (где  $v_F$  — фермиевская скорость) и амплитуду рассеяния назад с  $q_x \approx 2p_F$ , когда происходит переброс электронов с одного плоского участка ПФ на другой. Поскольку спектр плазмонов в цепочечном металле с учетом кулоновского взаимодействия между цепочками, согласно [31, 32], является анизотропным  $\omega_q \approx \omega_p \cos \theta$  (где  $\omega_p$  — плазменная частота,  $\theta$  — угол между вектором  $q$  и направлением цепочек  $x$ ) и практически незатухающим при любых  $q$ ,<sup>2</sup> в амплитуде рассеяния вперед, когда  $\theta \approx \pi/2$  и  $\bar{\omega}_q \ll \omega_p \sim E_F$ , усиление межэлектронного притяжения вблизи ПФ может быть весьма эффективным.

В настоящей работе показано, что обмен виртуальными НЧ плазмами в одномерных в (1D)-цепочках при условии  $T_c \ll \eta_{\perp} \ll E_F$  способствует куперовскому спариванию носителей на уплощенных участках ПФ и наряду с достаточно сильным ЭФВ может обеспечить высокие  $T_c \sim 100$  К. Это позволяет объяснить, с одной стороны, «азотную» ВТСП в  $\text{YBa}_2\text{Cu}_3\text{O}_{7-\delta}$  с упорядоченными (при  $\delta \ll 1$ ) линейными цепочками  $\text{Cu}-\text{O}$ , а с другой — наблюдавшееся в [33] понижение  $T_c$  почти вдвое при уменьшении содержания кислорода до 6.5 атомов на элементарную ячейку, когда происхо-

<sup>1</sup> Здесь и далее используется система единиц, в которой  $\hbar = k_B = 1$ .

<sup>2</sup> Имеется в виду, как и в случае 2D-систем, отсутствие квантового затухания Ландау в широкой области частот и волновых векторов. При этом, однако, сохраняется затухание плазмонов, связанное с рассеянием носителей на дефектах решетки и примесях (затухание Друде).

дит разупорядочение вакансий О и разрушение квазиодномерной цепочечной структуры.<sup>3</sup> «Плазмонный» механизм усиления сверхпроводимости в цепочках за счет динамической «переэкранировки» кулоновского отталкивания приводит к подавлению изотопического эффекта, а также к появлению в тунNELНОЙ ПС по крайней мере двух щелевых особенностей, связанных с разными щелями в 1D-цепочках и 2D-слоях.

## 1. Диэлектрическая проницаемость и спектр плазмонов

в металлооксидном соединении типа  $\text{YBa}_2\text{Cu}_3\text{O}_7$

Рассмотрим вопрос о спектре коллективных электронных возбуждений в монокристалле  $\text{YBa}_2\text{Cu}_3\text{O}_7$ , с учетом его специфической слоисто-цепочечной структуры [35] и дальнодействующего характера кулоновского взаимодействия электронов в разных слоях и цепочках. Диэлектрическая проницаемость такого анизотропного кристалла в отсутствие туннелирования электронов между соседними слоями и цепочками может быть представлена в следующем виде:

$$\epsilon(q, \omega) = \epsilon_i(\omega) + \frac{4\pi e^2}{q^2} [\alpha_1(q_x, \omega) + 2\alpha_2(q_x, q_y, \omega)], \quad (1)$$

где  $\epsilon_i(\omega)$  — часть диэлектрической проницаемости, обусловленная поляризацией связанных электронов ионных остовов и межзонными переходами,<sup>4</sup> а  $\alpha_1(q_x, \omega)$  и  $\alpha_2(q_x, q_y, \omega)$  — поляризации свободных носителей в 1D-цепочках и 2D-слоях ( $q=\sqrt{q_x^2+q_y^2+q_z^2}$ ), ось  $z$  направлена вдоль оси с кристалла, а ось  $x$  вдоль оси b). В дальнейшем рассматриваются относительно низкочастотные возбуждения, для которых можно положить  $\epsilon_i \approx \text{const}$ , причем в силу большой степени ионности кристалла  $\epsilon_i \gg 1$ , так что, несмотря на низкую концентрацию свободных носителей  $n_0 \approx 1/v_0 \approx 5 \cdot 10^{21} \text{ см}^{-3}$  (где  $v_0$  — объем элементарной ячейки), в данном случае может выполняться критерий применимости приближения «большой плотности»  $n_0^{1/3}a_B^* \gg 1$  (где  $a_B^* = \epsilon_i/m^*e^2$  — боровский радиус,  $m^*$  — зонная эффективная масса носителей), т. е. с хорошей точностью может быть применимо приближение хаотических фаз (ПХФ).

В связи с этим поляризация вырожденных электронов проводимости (дырок) с эффективной массой  $m_1^*$  и квадратичным спектром  $E_1(p_x) = -p_x^2/2m_1^*$  в широкой 1D-зоне в параллельных оси x цепочках Cu—O [26], расположенных в базисных плоскостях  $z=0$ , без учета туннелирования электронов между цепочками, а также между 1D-цепочками и соседними 2D-слоями в приближении ПХФ имеет вид [31, 32]

$$\alpha_1(q_x, \omega) = \frac{4v_1 p_{F1}}{q_x} \ln \left[ \frac{\omega^2 - q_x^2(v_{F1} + q_x/2m_1^*)^2}{\omega^2 - q_x^2(v_{F1} - q_x/2m_1^*)^2} \right], \quad (2)$$

где  $v_1$  — электронная ПС на плоском участке ПФ (в расчете на один спин),  $p_{F1}$  и  $v_{F1} = p_{F1}/m_1^*$  — фермиевские импульс и скорость (в направлении цепочек). В [32] получено также соответствующее выражение для  $\alpha_1(q_x, \omega)$  в приближении сильной связи для спектра  $E_1(p_x) = -E_B(1 - \cos p_x a_x)/2$ , где  $E_B$  — ширина зоны,  $a_x$  — постоянная решетки вдоль цепочек. Такое выражение справедливо, в частности, для узкой 1D-зоны вдоль цепочек Cu—O, параллельных оси с и имеющих разрыв в плоскости  $z=c/2$  за счет вакансий кислорода (см. [26]).

Выражение для  $\alpha_2(q_x, q_y, \omega)$  в случае изотропного в плоскости слоев квадратичного 2D-спектра электронов  $E_2(p_{\parallel}) = p_{\parallel}^2/2m_2^*$ , где  $p_{\parallel} = \sqrt{p_x^2 + p_y^2}$ ,

<sup>3</sup> При  $\delta > 0.5$  сверхпроводимость вообще отсутствует [34], по-видимому, из-за структурного (пайерлсовского) перехода металл—диэлектрик.

<sup>4</sup> Согласно оптическим и СВЧ измерениям,  $\epsilon_i(\omega)$  уменьшается с ростом  $\omega$  от  $\epsilon_i(0) \approx 200$  до  $\epsilon_i(\infty) \approx 50$ .

было получено в [24] и использовалось в [22, 23] при рассмотрении ЭПВ в слоистых кристаллах. Однако, как показали численные расчеты зонной структуры [25] и эксперименты по эффекту Холла [27], в  $\text{La}_{2-x}(\text{Ba}, \text{Sr})_x\text{CuO}_{4-y}$  цилиндрическая ПФ имеет почти квадратное сечение и сравнительно слабо гофрирована как в плоскости  $xy$ , так и вдоль оси  $z$ . В этом случае хорошей моделью для вычисления электронной поляризуемости в 2D-слоях может служить система взаимно пересекающихся но невзаимодействующих 1D-цепочек Cu—O вдоль осей  $x$  и  $y$ ,<sup>5</sup> для которой по аналогии с (2) получаем

$$\alpha_2(q_x, q_y, \omega) = 2\nu_2 \left\{ \frac{2p_{F2}}{q_x} \ln \left[ \frac{\omega^2 - q_x^2(v_{F2} + q_x/2m_2^*)^2}{\omega^2 - q_x^2(v_{F2} - q_x/2m_2^*)^2} \right] + \right.$$

$$\left. + \frac{2p_{F2}}{q_y} \ln \left[ \frac{\omega^2 - q_y^2(v_{F2} + q_y/2m_2^*)^2}{\omega^2 - q_y^2(v_{F2} - q_y/2m_2^*)^2} \right] \right\}. \quad (3)$$

В общем случае спектр плазмонов, определяющийся условием  $\epsilon(q, \omega) = 0$  с учетом (2) и (3), имеет весьма сложный вид. Однако при сильно отличающихся значениях ПС в цепочках  $\nu_1$  и слоях  $\nu_2$  спектр плазменных колебаний распадается на высокочастотную (ВЧ) и низкочастотную (НЧ) ветви с анизотропным квазиакустическим законом дисперсии. Так, например, при условии  $\nu_1 \ll \nu_2$  и  $m_1^* \ll m_2^*$ , но  $p_{F1} \geq p_{F2}$ , так что  $v_{F1} \gg v_{F2}$ , частоты ВЧ квазиодномерных и НЧ квазидвумерных плазмонов в длинноволновом пределе ( $q_x \ll p_{F1}$ ,  $q_{\parallel} = \sqrt{q_x^2 + q_y^2} \ll p_{F2}$ ) имеют следующий вид:

$$\omega_1(\mathbf{q}) \approx \omega_{p1} \frac{q_x}{q} \left( 1 + \frac{q_x^2 v_{F1}^2}{2\omega_{p1}^2} \right), \quad \omega > q_x v_{F1}, \quad (4)$$

$$\omega_2(\mathbf{q}) \approx \frac{q_{\parallel} \omega_{p2} \sqrt{2}}{\sqrt{q^2 + q_{\perp}^2}} \left[ 1 + \frac{(q_x^4 + q_y^4) v_{F2}^2}{2\omega_{p2}^2 q_{\parallel}^2} \right], \quad q_{\parallel} v_{F2} < \omega < q_{\parallel} v_{F1}, \quad (5)$$

а в противоположном случае, когда  $\nu_1 \gg \nu_2$  и  $v_{F1} \ll v_{F2}$ , для НЧ квазиодномерной и ВЧ квазидвумерной ветвей получаем выражения

$$\omega_1(\mathbf{q}) \approx \frac{q_x \omega_{p1}}{\sqrt{q^2 + 2x_2^2}} \left( 1 + \frac{q_x^2 v_{F1}^2}{2\omega_{p1}^2} \right), \quad q_x v_{F1} < \omega < q_x v_{F2}, \quad (6)$$

$$\omega_2(\mathbf{q}) \approx \frac{q_{\parallel} \omega_{p2} \sqrt{2}}{q} \left[ 1 + \frac{(q_x^4 + q_y^4) v_{F2}^2}{2\omega_{p2}^2 q_{\parallel}^2} \right], \quad \omega > q_{\parallel} v_{F2}, \quad (7)$$

где

$$\omega_{pj} = \sqrt{8\pi e^2 \nu_j v_{Fj}^2 / 3\epsilon_i}, \quad x_j = \sqrt{8\pi e^2 \nu_j / \epsilon_i} \quad (j = 1, 2). \quad (8)$$

На рисунке, *a*, *b* представлен качественный вид спектров (4)–(7) и соответствующих областей затухания Ландау (заштрихованы). Как видим, ветви плазменных колебаний лежат внутри «окон прозрачности», где  $\text{Im } \epsilon(\mathbf{q}, \omega) = 0$ , практически при всех  $q \leq 2p_{Fj}$  в отличие от изотропных 2D-систем, в которых спектр плазмонов ограничен сверху предельным импульсом  $q_c < p_{Fj}$  (см. [23, 24]).

Таким образом, диэлектрическая проницаемость кристалла типа  $\text{YBa}_2\text{Cu}_3\text{O}_7$  в зависимости от ПС в 1D-цепочках и 2D-слоях в разных областях частот  $\omega$  и волновых векторов  $q$  принимает вид

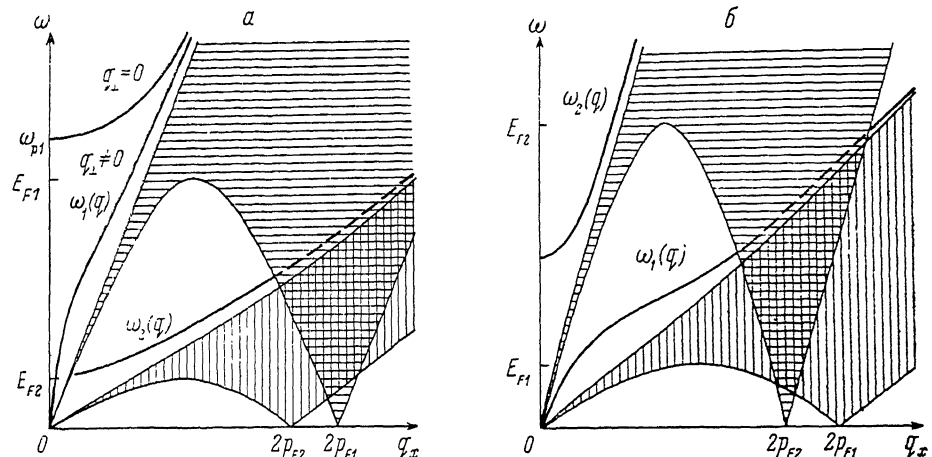
$$\epsilon(\mathbf{q}, \omega) \approx \epsilon_i \begin{cases} [1 - \omega_1^2(\mathbf{q})/\omega^2], & \omega > q_x v_{F1}, \\ (1 + x_1^2/q^2) [1 - \omega_2^2(\mathbf{q})/\omega^2], & q_{\parallel} v_{F2} < \omega < q_{\parallel} v_{F1}, \\ (1 + 2x_2^2/q^2), & \omega < q_{\parallel} v_{F2} \end{cases} \quad (9)$$

<sup>5</sup> Точнее говоря, здесь учитывается только кулоновское взаимодействие между цепочками, а перескоками электронов с цепочки на цепочку пренебрегается.

при условии  $v_1 \ll v_2$  и  $v_{F1} \gg v_{F2}$ , когда  $\omega_1^2 \ll \omega_2^2$  и  $\omega_{p1}^2 \gg \omega_{p2}^2$ , причем  $\omega_1(q)$  и  $\omega_2(q)$  определяются выражениями (4) и (5), или

$$\varepsilon(q, \omega) \simeq \varepsilon_i \begin{cases} [1 - \omega_2^2(q)/\omega^2] & \omega > q_x v_{F2}, \\ (1 + 2\omega_2^2/q^2)[1 - \omega_1^2(q)/\omega^2], & q_x v_{F1} < \omega < q_x v_{F2}, \\ (1 + \omega_1^2/q^2), & \omega < q_x v_{F1} \end{cases} \quad (10)$$

при условии  $v_1 \gg v_2$  и  $v_{F1} \ll v_{F2}$ , когда  $\omega_1^2 \gg \omega_2^2$  и  $\omega_{p1}^2 \ll \omega_{p2}^2$ , причем  $\omega_1(q)$  и  $\omega_2(q)$  определяются соотношениями (6) и (7).



Спектр плазмонов и области затухания Ландау (заштрихованы) в слоисто-цепочечном кристалле типа  $\text{YBa}_2\text{Cu}_3\text{O}_7$  при  $v_1 \ll v_2$  (а) и  $v_1 \gg v_2$  (б).

## 2. Уравнения для сверхпроводящих параметров порядка и константа ЭПВ в цепочках и слоях Cu—O

Переходя к рассмотрению сверхпроводимости в  $\text{YBa}_2\text{Cu}_3\text{O}_{7-\delta}$ , будем предполагать, что энергия поперечного движения (туннелирования) электронов между 1D-цепочками Cu—O в базисных плоскостях  $z=0$ , а также между цепочками и 2D-слоями удовлетворяет условию  $\eta_\perp \gg T_c$ , но  $\eta_\perp \ll E_{Fj} = p_{Fj}^2/2m_j^*$ , так что за счет достаточно большой степени трехмерности электронного спектра флуктуационные эффекты вблизи  $T_c$  подавлены, и применимо приближение самосогласованного поля (см. [29, 30]). Это согласуется с выводом, полученным в [36] на основе обработки температурных зависимостей проводимости  $\text{YBa}_2\text{Cu}_3\text{O}_{7-\delta}$  выше  $T_c$ .

Далее предположим, что  $\eta_\perp > T_P$  — критической температуры диэлектрического (пайерлсовского) перехода, так что пайерлсовская неустойчивость на уплощенных участках ПФ либо полностью подавлена (как за счет конечной гофрировки ПФ, так и под действием заряженных дефектов), либо затрагивает лишь незначительную часть электронного спектра вблизи точек вырождения (нестинга) и не препятствует [37], а при определенных условиях даже способствует (см. [16, 18]) куперовскому спариванию носителей на остальной части ПФ.

Наконец, учтем то обстоятельство, что для всех фононных ветвей  $\Omega_\alpha$ , которые вносят основной вклад в константу ЭФВ, в частности для частот оптических колебаний атомов Cu и O в слоях и цепочках [38–40], выполняется условие  $\Omega_\alpha^2 \gg T_b^2$ , благодаря чему применима стандартная теория сверхпроводимости с сильной связью [41].

В результате, пренебрегая взаимодействием (туннелированием электронов) между цепочками и слоями, с учетом анизотропии ПФ и процессов переброса только по поперечному импульсу  $p_\perp \{p_y, p_z\}$ , поскольку

$p_x \sim p_{F1} < \pi/b$ , представим интегральное уравнение для сверхпроводящего параметра порядка  $\Delta_1$  в системе параллельных 1D-цепочек Cu—O при  $T \neq 0$  в следующем виде (ср. с [41]):

$$\Delta_1(\mathbf{p}_\perp, p_x, i\omega_n) = \pi T \sum_{\omega_m} \int_{S_1} \frac{d^2 p'_\perp}{(2\pi)^2} \int_0^\infty \frac{dp'_x}{2\pi} \sum_l F_1(\mathbf{p}'_\perp + \mathbf{p}_l, p'_x, i\omega_m) \times$$

$$\times \{W(\mathbf{p}_\perp, \mathbf{p}'_\perp + \mathbf{p}_l, p'_x - p_x, i\omega_m - i\omega_n) + W(\mathbf{p}_\perp, \mathbf{p}'_\perp + \mathbf{p}_l, p'_x + p_x, i\omega_m - i\omega_n)\}, \quad (11)$$

где

$$F_1(\mathbf{p}_\perp, p_x, i\omega_n) = \frac{\Delta_1(\mathbf{p}_\perp, p_x, i\omega_n)}{[i\omega_n - f_1(i\omega_n)]^2 - \xi_1^2(\mathbf{p}_\perp, p_x) - |\Delta_1(\mathbf{p}_\perp, p_x, i\omega_n)|^2}, \quad (12)$$

$S_1$  — площадь одного из плоских участков ПФ, соответствующих 1D-цепочкам;  $\mathbf{p}_l$  — дискретный импульс обратной решетки, соответствующий расстоянию до  $l$ -го участка;  $\omega_n = (2n+1)\pi T$  — дискретные «частоты» в методе температурных функций Грина ( $n = 0, \pm 1, \pm 2, \dots$ );  $\xi_1(\mathbf{p}_\perp, p_x) = \eta_\perp(\mathbf{p}_\perp) + v_{F1}(\mathbf{p}_\perp)[p_x - p_{F1}(\mathbf{p}_\perp)]$ , причем зависимость  $v_{F1}$  и  $p_{F1}$  от  $\mathbf{p}_\perp$  связана с гофрировкой ПФ;  $f_1(i\omega_n)$  — функция перенормировки спектра квазичастиц, а ядро запаздывающего межэлектронного взаимодействия  $W$  в пределах первой зоны Бриллюэна имеет вид [42]

$$W(\mathbf{q}, i\omega) = \sum_a \frac{g_a^2(\mathbf{q})}{\varepsilon^2(\mathbf{q}, i\omega)} D_{ph}^a(\mathbf{q}, i\omega) + \frac{V_c(\mathbf{q})}{\varepsilon(\mathbf{q}, i\omega)}. \quad (13)$$

Здесь  $g_a$ ,  $V_c$  — матричные элементы ЭФВ и кулоновского отталкивания;  $D_{ph}^a$  — фоновая функция Грина для  $a$ -й ветви, полюса которой описывают спектр фононов, перенормированный за счет экранировки и гибридизации с НЧ плазмонами (ср. с [43])

$$D_{ph}^a(\mathbf{q}, i\omega) = \frac{-\Omega_a^2(\mathbf{q})}{\omega^2 + \Omega_a^2(\mathbf{q}) \{1 - g_a^2(\mathbf{q})/V_c(\mathbf{q})[1 - \varepsilon^{-1}(\mathbf{q}, i\omega)]\}}. \quad (14)$$

В рамках данного приближения уравнения, аналогичные (11), могут быть записаны также для параметров порядка  $\Delta_2(\mathbf{p}_\perp, p_x, i\omega_n)$  и  $\Delta_2(\mathbf{p}_\perp, p_y, i\omega_n)$  на уплощенных участках ПФ, соответствующих 2D-слоям. Заметим, что при учете туннелирования электронов между цепочками и слоями следует исходить из общего уравнения для единого анизотропного (тензорного) параметра порядка  $\hat{\Delta}_{ij}$  по аналогии с многокомпонентными электронными системами [44].

Усредненное уравнение (11) по плоским участкам на ПФ, учитывая периодичность электронного спектра в плоскости  $yz$ , согласно которой  $\xi_1(\mathbf{p}_\perp + \mathbf{p}_l) = \xi_1(\mathbf{p}_\perp)$  и  $\Delta_1(\mathbf{p}_\perp + \mathbf{p}_l) = \Delta_1(\mathbf{p}_\perp)$ . В результате, заменяя в правой части (11) в подынтегральном выражении  $\Delta_1$  его средним значением

$$\bar{\Delta}_1(i\omega_n) = \frac{1}{S_1} \int_{S_1} d^2 p_\perp \Delta_1(\mathbf{p}_\perp, p_{F1}(\mathbf{p}_\perp), i\omega_n) \quad (15)$$

и переходя от переменной интегрирования  $p'_x$  к  $\xi' \equiv \xi_1(\mathbf{p}'_\perp, p'_x)$ , с учетом вычета в одном из полюсов аномальной функции Грина (12), приходим к обычной системе уравнений Элиашберга [41] для перенормированного параметра щели  $C_1(i\omega_n) = \bar{\Delta}_1(i\omega_n)[1 - f_1(i\omega_n)/i\omega_n]^{-1}$  и функции  $f_1(i\omega_n)$  в 1D-цепочках при  $T \rightarrow T_C$

$$\left[1 - \frac{f_1(i\omega_n)}{i\omega_n}\right] C_1(i\omega_n) = \pi T_C \sum_{\omega_m} Q_1(i\omega_m - i\omega_n) \frac{C_1(i\omega_m)}{|i\omega_m|}, \quad (16)$$

$$f_1(i\omega_n) = -i\pi T_C \sum_{\omega_m} Q_1(i\omega_m - i\omega_n) |\text{sign } \omega_m|. \quad (17)$$

где

$$Q_1(i\omega) = Q_1^-(i\omega) + Q_1^+(i\omega), \quad (18)$$

$$\begin{aligned} Q_1^{\mp}(i\omega) = -\frac{1}{S_1} \int_{S_1} d^2 p_{\perp} \int_{S_1} \frac{d^2 p'_{\perp}}{(2\pi)^2 v_{F1}(p'_{\perp})} \sum_l W(p_{\perp}, p'_{\perp} + \\ + p_l | p_{F1}(p'_{\perp}) - p_{F1}(p_{\perp}) |, i\omega). \end{aligned} \quad (19)$$

Ядро  $Q_1^-$  соответствует амплитуде рассеяния вперед с продольным передаваемым импульсом, не превышающим максимальную амплитуду гофрировки ПФ  $\delta p_{F1} \approx \eta_{\perp}/v_{F1} \ll p_{F1}$ , так что, согласно (9) и (10), в области передаваемых энергий  $|\omega_m - \omega_n| \geq \eta_{\perp}$  экранировка взаимодействия (13) носит динамический (запаздывающий) характер, который обусловлен обменом виртуальными квазидномерными плазмонами с частотами (4) или (6) в 1D-цепочках. В этом случае ЭПВ, как будет видно из дальнейшего рассмотрения, приводит к почти полному подавлению кулоновского отталкивания в области  $|\omega_m - \omega_n| \leq \omega_1(q)$ . В то же время вклад в ЭПВ квазидвумерных плазмонов с частотами (5) или (7) в 2D-слоях в результате усреднения по ПФ (интегрирования по  $p_{\perp}$  и  $p'_{\perp}$ ) оказывается подавленным либо за счет сильного (интегрального) затухания Ландау при  $\nu_1 \ll \nu_2$  (см. рисунок, а), либо за счет высоких средних частот  $\omega_2(q) \sim E_{F2} \gg E_{F1}$  при  $\nu_1 \gg \nu_2$  (см. рисунок, б).

Ядро  $Q_1^+$  соответствует амплитуде рассеяния назад с передаваемым вдоль цепочек импульсом  $q_z \approx 2p_{F1}$ , так что в области  $|\omega_m - \omega_n| \ll F_{F1}$  имеет место статическая экранировка взаимодействия (13) с гигантской коновской аномалией (логарифмической особенностью) в электронной поляризуемости 1D-цепочек  $\alpha_1(2p_{F1}, 0) \approx 2\nu_1 \ln(4E_{F1}|\eta_{\perp}|)$ . Это приводит к существенному ослаблению ЭФВ и кулоновского отталкивания, так что процессами рассеяния назад в (16)–(18) можно пренебречь.

Для дальнейших приближенных оценок ограничимся в (19) только первой зоной Бриллюэна ( $p_r=0$ ), усреднение по  $p_{\perp}$  заменим подстановкой в  $W$  вместо разности  $|p_{F1}(p'_{\perp}) - p_{F1}(p_{\perp})|$  амплитуды гофрировки ПФ  $\delta p_{F1} \approx \eta_{\perp}/v_{F1}$ , а интегрирование по  $p'_{\perp}$  заменим интегрированием по  $q_{\perp} = p'_{\perp} - p_{\perp}$ , что оправдано при условии изотропии  $S_1$  и  $\delta p_{F1} \ll \sqrt{S_1}$ . В результате для кулоновской части ядра  $Q_1^-(i\omega)$ , которая описывает ЭПВ только с квазидномерными плазмонами (4) или (6), в области  $|\omega| \geq \eta_{\perp}$  получаем приближенное выражение (ср. с [10])

$$Q_{1c}^-(i\omega) \simeq \int_{S_1} \frac{d^2 q_{\perp}}{(2\pi)^2 v_{F1}} \frac{4\pi e^2}{\epsilon_i[q_{\perp}^2 + 2\tilde{x}_2^2 + \delta p_{F1}^2]} \left\{ \frac{\tilde{\omega}_1^2(q_{\perp})}{\omega^2 + \tilde{\omega}_1^2(q_{\perp})} - 1 \right\}, \quad (20)$$

где

$$\tilde{\omega}_1(q_{\perp}) \simeq \frac{\omega_p \delta p_{F1}}{\sqrt{q_{\perp}^2 + 2\tilde{x}_2^2 + \delta p_{F1}^2}}, \quad \tilde{x}_2 = \begin{cases} 0, & \nu_1 < 2\nu_2, \\ z_2, & \nu_1 > 2\nu_2. \end{cases} \quad (21)$$

При этом предполагается, что выполнено условие

$$\tilde{\omega}_1(q_{\perp}) > \eta_{\perp}, \text{ т. е. } \omega_{p1} > v_{F1} \sqrt{S_1 + 2\tilde{x}_2^2}. \quad (22)$$

Из (20) следует, что в области  $\omega < \tilde{\omega}_1(q_{\perp})$  эффективное притяжение, обусловленное запаздывающим ЭПВ, почти полностью компенсирует статическое кулоновское отталкивание, которое в случае достаточно больших уплощенных участков ПФ с логарифмической точностью описывается безразмерной константой (при  $|\omega| \gg \tilde{\omega}_1, q_{\perp \max} \sim \sqrt{S_1}$ )

$$\mu_{c1} = \frac{2e^2}{\epsilon_i v_{F1}} \int_0^{q_{\perp \max}} \frac{q_{\perp} dq_{\perp}}{q_{\perp}^2 + 2\tilde{x}_2^2 + \delta p_{F1}^2} \simeq \frac{e^2}{\epsilon_i v_{F1}} \ln \left[ \frac{S_1 + 2\tilde{x}_2^2}{\delta p_{F1}^2 + 2\tilde{x}_2^2} \right], \quad (23)$$

тогда как в низкочастотной области  $|\omega| \ll \eta_{\perp}$  с учетом статической экранировки свободными носителями как в слоях, так и в цепочках получаем ( $\delta p_{F1} \ll x_1, x_2$ )

$$\mu_c \approx \frac{e^2}{\varepsilon_i v_{F1}} \ln \left[ \frac{S_1 + x_1^2 + 2x_2^2}{x_1^2 + 2x_2^2} \right] < \mu_{c1}. \quad (24)$$

Таким образом, безразмерная константа ЭПВ в 1D-цепочках равна

$$\lambda_{pl} \approx \mu_{c1} \approx \frac{e^2}{\varepsilon_i v_{F1}} \begin{cases} 2 \ln (\sqrt{S_1} / \delta p_{F1}), & \nu_1 < 2\nu_2. \\ \ln [(S_1 + 2x_2^2) / 2x_2^2], & \nu_1 > 2\nu_2. \end{cases} \quad (24a)$$

Заметим, что в 2D-слоях при условии  $\nu_2 \ll \nu_1$  и  $v_{F2} \gg v_{F1}$  для цепочек Cu—O, параллельных оси  $x$ , константа ЭПВ с квазидисперсионными плазмонами в 1D-цепочках отличается от (23) заменой  $v_{F1}$  на  $v_{F2}$  и  $S_1$  на  $S_2$  — площадь плоских участков ПФ в 2D-слоях и, следовательно, при  $S_2 \sim S_1$  гораздо меньше, чем в цепочках, а при  $\nu_2 \gg \nu_1$  и  $v_{F2} \ll v_{F1}$  вклад ЭПВ подавлен сильным затуханием Ландау. Для цепочек Cu—O, параллельных оси  $y$ , ЭПВ с 1D-плазмонами (4) или (6), так же как и с 2D-плазмонами (5) или (7), подавлено в результате усреднения по ПФ.

### 3. Критическая температура металлооксидного сверхпроводника $\text{YBa}_2\text{Cu}_3\text{O}_{7-\delta}$

Представим фононную часть ядра (19), согласно (13) и (14), в следующем виде (см. [42]):

$$Q_{1ph}^{-1}(i\omega) = 2 \int_0^{\Omega_{\max}} \alpha_-^2(\Omega) F(\Omega) \frac{\Omega d\Omega}{\omega^2 + \Omega^2}, \quad (25)$$

где  $\alpha_-^2(\Omega)$  — усредненная по ПФ сумма квадратов экранированных матричных элементов ЭФВ с учетом только процессов рассеяния вперед ( $q_x \ll p_{F1}$ ),  $F(\Omega)$  — фононная ПС,  $\Omega_{\max}$  — предельная частота фононов. В приближении бездисперсионных (эйнштейновских) ветвей для перенормированных частот  $\tilde{\Omega}_\alpha$  оптических фононов, полагая  $\alpha_-^2(\Omega) F(\Omega) = 1/2 \sum_\alpha \lambda_\alpha \tilde{\Omega}_\alpha \delta(\Omega - \tilde{\Omega}_\alpha)$ , где  $\lambda_\alpha$  — парциальные константы связи [42], согласно (25), находим суммарную константу ЭФВ  $\lambda_{ph} \equiv Q_{1ph}(0) = \sum_\alpha \lambda_\alpha$ . Для приближенного учета ЭПВ введем в соответствии с (20) еще одну «оптическую» ветвь с константой  $\lambda_{pl}$  и частотой, равной средней частоте квазидисперсионных плазмонов в 1D-цепочках Cu—O, которая по порядку величины, согласно (20), равна

$$\tilde{\omega}_{pl} \simeq \frac{2e^2}{\mu_{c1} \varepsilon_i v_{F1}} \int_0^{\Omega_{\max}} \frac{g_\perp d q_\perp \tilde{\omega}_1(\Omega_\perp)}{q_\perp^2 + 2\tilde{x}_2^2 + \delta p_{F1}^2}. \quad (25a)$$

Предполагая, что  $\tilde{\omega}_{pl}$  лежит в интервале  $\Omega_{\max} \ll \tilde{\omega}_{pl} \ll \omega_{pl} \sim E_{F1}$ , в рамках двухступенчатой аппроксимации параметра щели, когда  $C_1(i\omega_n) = -\Delta_0$  при  $|\omega_n| < \tilde{\omega}_{pl}$  и  $C_1(i\omega_n) = \Delta_\infty$  при  $|\omega_n| > \tilde{\omega}_{pl}$ , с помощью метода, развитого в [45], получаем экспоненциальную формулу для  $T_c$

$$T_c^{(1)} \approx \tilde{\omega}_{pl} \exp \left\{ -\frac{1 + \tilde{\lambda} + \tilde{\lambda}_0}{\tilde{\lambda} - \mu_{c1}^*(1 + \tilde{\lambda}_\infty)} \right\}, \quad (26)$$

где

$$\tilde{\lambda} = \lambda_{ph} + \lambda_{pl}, \quad \mu_{c1}^* = \mu_{c1} [1 + \mu_{c1} \ln(E_{F1}/\tilde{\omega}_{pl})]^{-1}, \quad (27)$$

$$\tilde{\lambda}_0 = \sum_\alpha \lambda_\alpha \ln \left( 1 + \frac{\tilde{\omega}_{pl}}{\tilde{\Omega}_\alpha} \right) + i_{pl} \ln 2, \quad \tilde{\lambda}_\infty = \sum_\alpha \lambda_\alpha \ln \left( 1 + \frac{\tilde{\Omega}_\alpha}{\tilde{\omega}_{pl}} \right) + i_{pl} \ln 2. \quad (28)$$

Заметим, что при  $\tilde{\omega}_{pl} \gg \tilde{\Omega}_\alpha$  и при достаточно большой константе ЭФВ  $\lambda_{ph} \gg \lambda_{pl} = \mu_{c1}$  формула (26) практически совпадает с полученной в [46] итерационной формулой для  $T_c$  со средней логарифмической частотой фононов в предэкспоненте.

В отсутствие 1D-цепочек и квазидномерных плазмонов формула (26) переходит в приближенную формулу для сверхпроводников с сильным ЭФВ [45]

$$T_c^{(2)} \approx \Omega_{max} \exp \left\{ - \frac{1 + \lambda_{ph} + \lambda_0}{\lambda_{ph} - \mu_{c2}^* (1 + \lambda_\infty)} \right\}, \quad (29)$$

где

$$\lambda_0 = \sum_\alpha \lambda_\alpha \ln \left( 1 + \frac{\Omega_{max}}{\tilde{\Omega}_\alpha} \right), \quad \lambda_\infty = \sum_\alpha \lambda_\alpha \ln \left( 1 + \frac{\tilde{\Omega}_\alpha}{\Omega_{max}} \right), \quad (30)$$

$$\mu_{c2}^* = \mu_{c2} [1 + \mu_{c2} \ln (E_{F2}/\Omega_{max})]^{-1}, \quad \mu_{c2} = \frac{e^2}{\varepsilon_i v_{F2}} \ln \left( \frac{S_2 + z_2^2}{z_2^2} \right). \quad (31)$$

Как видим, при  $\tilde{\omega}_{pl} \gg \Omega_{max}$  вклад квазидномерных плазмонов в цепочках Cu—O приводит к существенному повышению  $T_c$ . Этот эффект должен значительно усиливаться при явном учете процессов переброса, которые приводят к увеличению  $\lambda_{pl}$ , а также туннельных переходов между цепочками и слоями.

Как следует из (26)—(28), благодаря ЭПВ изотопический эффект в 1D-цепочках сильно подавлен и проявляется только благодаря слабой (логарифмической) зависимости параметров  $\lambda_0$  и  $\lambda_\infty$  от  $\tilde{\Omega}_\alpha$ , что качественно согласуется с экспериментальными данными [47].

Переход от (26) к (29) с понижением  $T_c$  соответствует переходу от цепочечных структур к 2D-слоям Cu—O, в которых ЭПВ, вопреки предположениям [22, 23, 28], не оказывает практически никакого влияния на сверхпроводимость, чем объясняются гораздо более низкие  $T_c$  в  $La_{2-x}(Ba, Sr)_x CuO_{4-y}$  и экспериментально наблюдаемый эффект понижения  $T_c$  в  $YBa_2Cu_3O_{7-\delta}$  с ростом  $\delta$  в результате разрушения 1D-цепочек Cu—O [33], а также наличие по крайней мере двух щелевых особенностей на туннельных ВАХ [48, 49] и в оптических ИК спектрах [50, 51] за счет разной величины параметра щели в цепочках и слоях. Дополнительным косвенным подтверждением превалирующей роли цепочек в ВТСП в  $YBa_2Cu_3O_7$  является относительно слабое изменение  $T_c$  при замене  $Y$  на любой редкоземельный элемент [52], включая La (но кроме Ce, Pr и Nd), в том числе на Ho, Dy и Gd, обладающие аномально большими магнитными моментами атомов, что должно приводить к разрушению куперовских пар и подавлению сверхпроводимости в соседних 2D-слоях, но не может оказать существенного влияния на 1D-цепочки, находящиеся на расстоянии  $c/2 \approx 6 \text{ \AA}$  и заэкранированные слоями. В то же время замещение в  $YBa_2Cu_3O_7$  атомов Cu любым другим металлом — переходным (Ni, Co, Fe, Mn, Cr, V, Ti), простым (Zn) или благородным (Ag) — приводит к резкому понижению  $T_c$  [53], что может быть связано с разрушением цепочечной структуры, образованной за счет гибридизации  $d$ -орбиталей Cu с  $p$ -орбиталями O.

Следует подчеркнуть, что проведенное в настоящей работе рассмотрение применимо не только для монокристаллов, но и для поликристаллических образцов, эпитаксиальных пленок и керамик при условии, что минимальные размеры кристаллитов в направлении упорядоченных 1D-цепочек Cu—O значительно превышают некоторую характерную длину  $l_{min} \leq 100 \text{ \AA}$ , связанную с малыми передачами продольного импульса в амплитуде рассеяния вперед  $q_x \sim \gamma_1/v_{F1} \geq 10^6 \text{ см}^{-1}$ . При этом длина свободного пробега электронов  $l_0$  за счет упругого рассеяния на точечных дефектах (вакансиях, примесях) может быть гораздо меньше  $l_{min}$ , поскольку вероятность рассеяния назад из-за сравнительно слабой гофрировки ПФ мала, а упругое рассеяние с большими попечечными импульсами

сами  $q_{\perp} \sim \sqrt{S_1} \geqslant 10^8$  см<sup>-1</sup> не разрушает квазиодномерную топологию спектра и, так же как и в изотропных «грязных» сверхпроводниках, не препятствует куперовскому спариванию. Однако при  $l_0 \ll l_{\min}$  необходимо учитывать сильное столкновительное затухание НЧ плазмонов, которое должно приводить к конечному затуханию квазичастиц в сверхпроводнике даже при  $T \rightarrow 0$ , т. е. к бесщелевой сверхпроводимости, что может объяснить наблюдающуюся в туннельных экспериментах [48, 49] ненулевую ПС внутри щели («псевдощель»).

Таким образом, рассмотренный выше «плазменный» механизм усиления межэлектронного притяжения в 1D-цепочках за счет обмена виртуальными НЧ плазмонами с анизотропным квазиакустическим спектром позволяет понять причину ВТСП в соединениях типа  $\text{YBa}_2\text{Cu}_3\text{O}_{7-\delta}$  с  $T_c \approx 90 \div 100$  К и многие на первый взгляд необычные свойства этих сверхпроводников, такие, например, как аномально малый изотопический эффект, бесщелевой характер сверхпроводимости, наличие нескольких щелевых особенностей в туннельной ПС, сильно затухающие НЧ возбуждения в оптических спектрах, понижение  $T_c$  при уменьшении содержания кислорода, слабая чувствительность  $T_c$  по отношению к замене  $\text{Y}$  на любой редкоземельный элемент, резкое падение  $T_c$  при замещении  $\text{Cu}$  другими металлами, как магнитными, так и немагнитными.

В заключение выражаю благодарность В. Н. Антонову, В. Г. Барьяхтару, А. Л. Кацатину, В. М. Пану, С. М. Рябченко и С. К. Толпиго за обсуждение ряда теоретических и экспериментальных вопросов, затронутых в данной работе.

### Л и т е р а т у р а

- [1] Bednorz I. G., Müller K. A. // Zschr. Phys. B. 1986. V. 64. N 1. P. 189—193.
- [2] Chu C. W. et al. // Phys. Rev. Lett. 1987. V. 58. N 4. P. 405—407.
- [3] Wu M. K. et al. // Phys. Rev. Lett. 1987. V. 58. N 9. P. 908—910.
- [4] Ахиезер А. И., Померанчук И. Ф. // ЖЭТФ. 1959. Т. 36. № 3. С. 859—862.
- [5] Ахиезер А. И., Ахиезер И. А. // ЖЭТФ. 1962. Т. 43. № 6 (12). С. 2208—2216; Приворотский И. А. // ЖЭТФ. 1962. Т. 43. № 6 (12). С. 2255—2260.
- [6] Little W. // Phys. Rev. 1964. V. 134. N 6A. P. 1416—1424.
- [7] Гинзбург В. Л. // ЖЭТФ. 1964. Т. 47. № 6 (12). С. 2318—2320.
- [8] Гинзбург В. Л., Киржин Д. А. // ДАН СССР. 1967. Т. 176. № 2. С. 558—561.
- [9] Fröhlich H. // J. Phys. C. 1968. V. 1. N 2. P. 544—546.
- [10] Пашицкий Э. А. // ЖЭТФ. 1968. Т. 55. № 6 (12). С. 2387—2394; 1969. Т. 56. № 2. С. 662—668; УФЖ. 1969. Т. 14. № 1. С. 1882—1889.
- [11] Пашицкий Э. А., Романов Ю. А. // УФЖ. 1970. Т. 15. № 10. С. 1594—1606.
- [12] Винецкий В. Л., Пашицкий Э. А. // УФЖ. 1975. Т. 20. № 2. С. 338—341.
- [13] Кулик И. О., Педан А. Г. // ЖЭТФ. 1980. Т. 79. № 4. С. 1469—1482.
- [14] Aleksandrov A., Ranninger J. // Phys. Rev. B. 1981. V. 24. N 3. P. 1164—1169.
- [15] Москаленко В. А. // ФММ. 1959. Т. 8. № 4. С. 503—513.
- [16] Коцаев Ю. В. // ЖЭТФ. 1970. Т. 58. № 3. С. 1012.
- [17] Абрикосов А. А. // Письма в ЖЭТФ. 1978. Т. 27. № 4. С. 235—238.
- [18] Кацатин А. Л., Пашицкий Э. А. // ФНТ. 1984. Т. 10. № 1. С. 63.
- [19] Anderson P. W. // Science. 1987. V. 235. N 4793. P. 1196—1205.
- [20] Элиашберг Г. М. // Письма в ЖЭТФ. 1987. Т. 46. Приложение. С. 94—97.
- [21] Звездин А. К., Хомский Д. И. // Письма в ЖЭТФ. 1987. Т. 46. Приложение. С. 102—105.
- [22] Kresin V. Z. // Phys. Rev. B. 1987. V. 35. N 16. P. 8716—8719.
- [23] Ruvalds J. // Phys. Rev. B. 1987. V. 35. N 16. P. 8769—8772.
- [24] Stern F. // Phys. Rev. Lett. 1967. V. 18. N 5. P. 546—548.
- [25] Mattheiss L. F. // Phys. Rev. Lett. 1987. V. 58. N 10. P. 1028—1030.
- [26] Yu J., Massida S., Freeman A. J., Koeling D. D. // Phys. Lett. 1987. V. 122. N 3, 4. P. 202—208.
- [27] Ong N. P. et al. // Phys. Rev. B. 1987. V. 35. N 16. P. 8807—8810.
- [28] Askkenazi J., Kuper C. J., Tyk P. // Jap. J. Appl. Phys. 1987. V. 26. Suppl. P. 987—989.
- [29] Horowitz B. // Phys. Rev. B. 1977. V. 16. N 9. P. 3943—3954.
- [30] Gutfreund H. // Physica. 1982. V. 109—110. N 5. P. 1866—1878.
- [31] Дзялошинский И. Е., Кац Е. И. // ЖЭТФ. 1968. Т. 55. № 1 (7). С. 338—348.
- [32] Williams P. F., Bloch N. A. // Phys. Rev. B. 1974. V. 10. N 3. P. 1097—1108.
- [33] Renault A. et al. // J. Physique. 1987. V. 48. N 5. P. 1407—1410.
- [34] Schlesinger Z., Collins R. T., Shafer M. W. // Phys. Rev. B. 1987. V. 35. N 14. P. 7232—7235.
- [35] David W. I. F. et al. // Nature. 1987. V. 327. N 1. P. 310—325.

- [36] Freitas P. P., Tsuei C. C., Plaskett T. S. // Phys. Rev. B. 1987. V. 36. N 2. P. 833—835.
- [37] Bilbro G., McMillan W. L. // Phys. Rev. B. 1976. V. 14. N 5. P. 1887—1892.
- [38] Weber W. // Phys. Rev. Lett. 1987. V. 58. N 5. P. 1371—1374.
- [39] Мазин И. И. и др. Письма в ЖЭТФ. 1987. Т. 46. Приложение. С. 120—123.
- [40] Stavola M. et al. // Phys. Rev. B. 1987. V. 36. N 2. P. 850—853.
- [41] Элиашберг Г. М. // ЖЭТФ. 1960. Т. 39. № 6. С. 1437—1441.
- [42] Проблема высокотемпературной сверхпроводимости / Под ред. В. Л. Гинзбурга и Д. А. Киржаница. М., 1977. 400 с.
- [43] Пашицкий Э. А., Макаров В. Л., Терещенко С. Д. // ФТТ. 1974. Т. 16. № 2. С. 427—437.
- [44] Габович А. М., Пашицкий Э. А., Шпигель А. С. // ЖЭТФ. 1979. Т. 77. № 3. С. 1157—1160.
- [45] Медведев М. В., Пашицкий Э. А., Пятилетов Ю. С. // ЖЭТФ. 1973. Т. 65. № 3 (9). С. 1186—1197.
- [46] Каракозов А. Е., Максимов Е. Г., Машков С. А. // ЖЭТФ. 1975. Т. 68. № 5. С. 1937—1949.
- [47] Batlogg B. et al. // Phys. Rev. Lett. 1987. V. 58. N 5. P. 2333—2335.
- [48] Kirtley J. R. et al. // Phys. Rev. B. 1987. V. 35. N 13. P. 7216—7219.
- [49] Pan S. et al. // Phys. Rev. B. 1987. V. 35. N 13. P. 7220—7223.
- [50] Sulewski P. E. et al. // Phys. Rev. B. 1987. V. 35. N 10. P. 5330—5333.
- [51] Nagasaka K. et al. // Jap. J. Appl. Phys. 1987. V. 26. N 2. P. L479—L483.
- [52] Le Page Y. et al. // Phys. Rev. B. 1987. V. 36. N 7. P. 3617—3621.
- [53] Xiao G. et al. // Phys. Rev. B. 1987. V. 35. N 16. P. 8782—8785.

Институт физики АН УССР  
Киев

Поступило в Редакцию  
16 марта 1988 г.  
В окончательной редакции  
21 июня 1988 г.